

## 報 文

화학공학 제 7권 제 2호

J. KICHE, Vol 7, No. 2

Jun. 1969

## 氣體流動層에서의 氣泡의 舉動

朴源 培<sup>\*1</sup> 姜雄 基<sup>\*2</sup> C. E. Capes<sup>\*3</sup> G. L. Osberg<sup>\*3</sup>

## On the Behaviour of Bubbles in the Gas Fluidized Bed

Won Hee Park<sup>\*1</sup>, Woong KiKang<sup>\*2</sup>, C. E. Capes<sup>\*3</sup>, G. L. Osberg<sup>\*3</sup><sup>\*1</sup>Dept. of Chem. Eng., College of Eng., Seoul National Univ.<sup>\*2</sup>Research Institute of Mining and Metallurgy<sup>\*3</sup>National Research Council of Canada

## Abstract

An electroresistivity probe was used to determine point properties of an air-fluidized bed of conducting coke particles. Interruptions of current between the electrodes of the probe and a large wall electrode were analyzed with the aid of a hybrid computer to yield information on bubble properties (frequency, volume fraction, size and size distribution and rising velocity) as a function as a function of fluidization level, particle size and position within the bed. The results are generally in agreement with available theory and literature data.

## 緒論

近年에 와서 氣固系流動體에서의 氣泡의 舉動을 理解하기 위한 研究가 活潑해지고 있다. 流動層에 관한 理論的研究<sup>(1-4)</sup>로 層의 流體力學的 現象을 어느程度 理解해되고 이것이 單一氣泡<sup>(4-7)</sup>나 連續氣泡<sup>(4, 6-14)</sup>에 관한 實驗的 結果와 잘 부합됨으로서 流動層의 理論的研究에 큰 進展을 보게 되었다.

流動層內에서의 氣泡의 舉動을 관찰하는 實驗方法은 여러 研究者에 依해서 여러가지 方法이 使用되어 왔다. 即 映畫 Camera<sup>(6, 7)</sup>나 X-線 Camera<sup>(5, 14)</sup>를 써서 氣泡의 舉動을 直接 촬영하는 方法 또는 photocell<sup>(8, 11)</sup>,  $\gamma$ 線<sup>(10)</sup>,  $\beta$ 線<sup>(8)</sup>, Capacitance<sup>(9, 12-14)</sup>等의 probe를 層内에 삽입해서 氣泡를 感知하는 方法等이 있다. 本研究에서는 電氣底抗 probe를 써서 電氣的으로 良導體인 conductive coke를 空氣로써 流動化시킬 때 層에서 發生하는 氣泡의 舉動을 研究하였다.

電氣底抗 probe는 電氣的으로 導性인 固體相과 不導體인 氣泡相을 구별할 수 있다는 것을 原理로 하고 있으며 여기서 얻은 電氣的 信號를 hybrid 電子計算機에서 처리하여 氣泡의 頻度, 氣泡의 容積比, 氣泡의 크기 및 이의 分布, 氣泡의 上昇速度等을 流動化空氣量, 粒子의 크기, 層內의 位置等의 函數로서 얻었다.

## 實驗

內徑이 10cm, 길이가 65cm인 Lucite 管에 porous stainless steel의 分布板을 붙인 것을 사용했으며 거의 球形인 電導性 coke 粒子(35—200 mesh)를 크기別로 3等級으로 나누어 流動化시켰다(Table 1).

Table I. Physical and Fluidizing Properties of the Conductive Coke.

Size Range mesh	Average Diameter cm	Density g/cm <sup>3</sup>	Minimum Flu- idizing Veloci- ty, cm/sec
35-48	0.0344	1.846	6.80
65-100	0.0154	1.777	1.83
150-200	0.0086	1.784	0.63

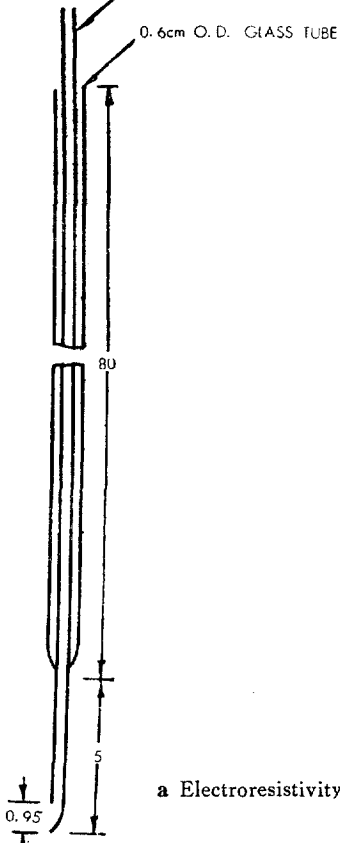
Fig. 1은 여과에서 使用한 電氣底抗 probe와 부수적인 電氣回路를 나타낸 것이다. Probe는 두個의 서로 절연된 直徑 0.1cm인 Kovar 線으로 되어 있으며 이것을 直徑 0.6cm, 길이 85cm의 유리管에 넣어 外部와 절연시켰다. 電線의 끝 약 0.1cm以外는 Lacquer를 빌려 절연시키고 두線의 끝은 垂直으로 서로 0.95cm 떠려져 있다. 이 Probe를 層의 上部에 올려놓고 層內의 任意의 位置에 probe의 끝을 오게 할 수 있게 하였다. 또한 이 probe는 Fig. 1의 b와 같은 回路에 直列

<sup>\*1</sup> 서울大學校 工大 化工科教授<sup>\*2</sup> 金屬燃料綜合研究所長<sup>\*3</sup> National Research Council of Canada.

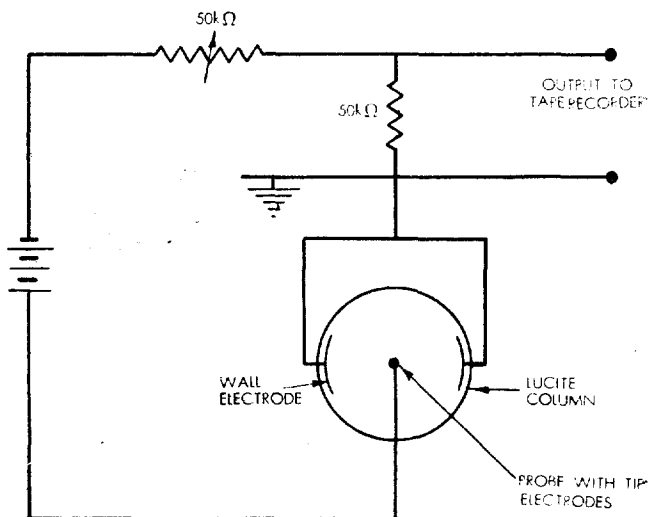
로連結시켰다. 管벽에는  $4\text{cm} \times 4\text{cm}$  크기의 銀板 6 個를附着시켜 다른電極으로使用하였다. Probe의 끝과管벽에붙여있는電極사이의回路는probe끝에氣泡가닿으면끊어지고固體相이닿으면붙어서結果的

0.1cm dia. KOVAR WIRE

Fig. 1



a Electroresistivity



b Measuring Circuit

(Fig. 2), 이에必要的programming은本論文에서는省略한다<sup>(15)</sup>.

(1) pulse의 幅,  $\tau_1$

(2) Probe의兩끝에서얻는두개의信號사이에서서로對應하는pulse間의時間遲滯,  $\tau_2$

(3) Pulse와 pulse 사이의 간격,  $\tau_3$

한개의pulse는한개의氣泡를意味하게됨으로한pulse에對해서위의세量을測定함으로써그pulse에해당하는氣泡의크기, 속도等을알수있다. 각實驗run에對해서4,000내지8,000개의pulse(15—35分)를分析하였으며이結果는다음과같은頻度表의모양으로計算機의digital部分에서type되어나온다.

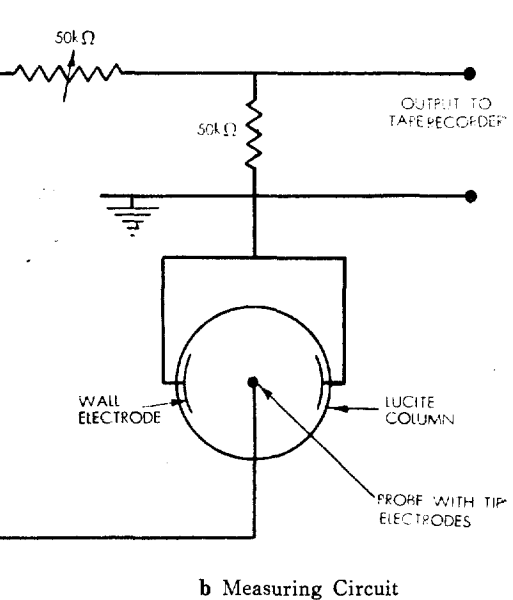
(1)  $\tau_3$ 의頻度表[G( $\tau_3$ )]

(2)  $\tau_1$ 의函數로서 $1/\tau_2$ 의頻度表[F( $\tau_1$ ,  $1/\tau_2$ )]. 各表의增分의數는64個로하였으며그크기는各測定值의豫期되는最大值의 $1/64$ 로하였다.

### 氣泡性質의計算

으로0—6volt사이를왔다갔다하는pulse狀의信號를인게되며이것을計測用tape recorder에記錄하여電子計算機에서처리했다.

信號를분석하여다음의세가지量을測定하였으며



氣泡의頻度(n). G( $\tau_3$ )表에記錄된總時間(T)로나누어얻었다.

氣泡相이차지하는容積의全容積에對한比( $\epsilon_b$ ). G( $\tau_3$ )表에서부터다음式에依해서計算할수있다.

$$\epsilon_b = 1 - \frac{1}{T} \sum_{j=1}^{4t} g_j \tau_{3j} \dots \quad (1)$$

여기서  $g_j$ 와  $\tau_{3j}$ 는各各 G( $\tau_3$ )表의 j-제項에해당하는頻度및中間值이다.

氣泡의平均上昇速度( $\bar{V}_b$ ). F( $\tau_1$ ,  $1/\tau_2$ )에서부터다음式에依해서計算할수있다.

$$\bar{V}_b = d \sum_{j=1}^{4t} \left(\frac{1}{\tau_2}\right)_j \sum_{i=1}^{4t} f_{ij} / \sum_{j=1}^{4t} \sum_{i=1}^{4t} f_{ij} \dots \quad (2)$$

여기서  $d$ 는probe의두끌사이의거리이며 $f_{ij}$ 는F( $\tau_1$ ,  $1/\tau_2$ )表에서i-제行과j-제列에해당하는频度이며 $\left(\frac{1}{\tau_2}\right)_j$ 는j-제列에해당하는中間值이다.

電氣底抗probe의特性에依해서 $\tau_1$ 는probe가氣泡와실제로接觸한點에서의弦의길이를나타낸다.

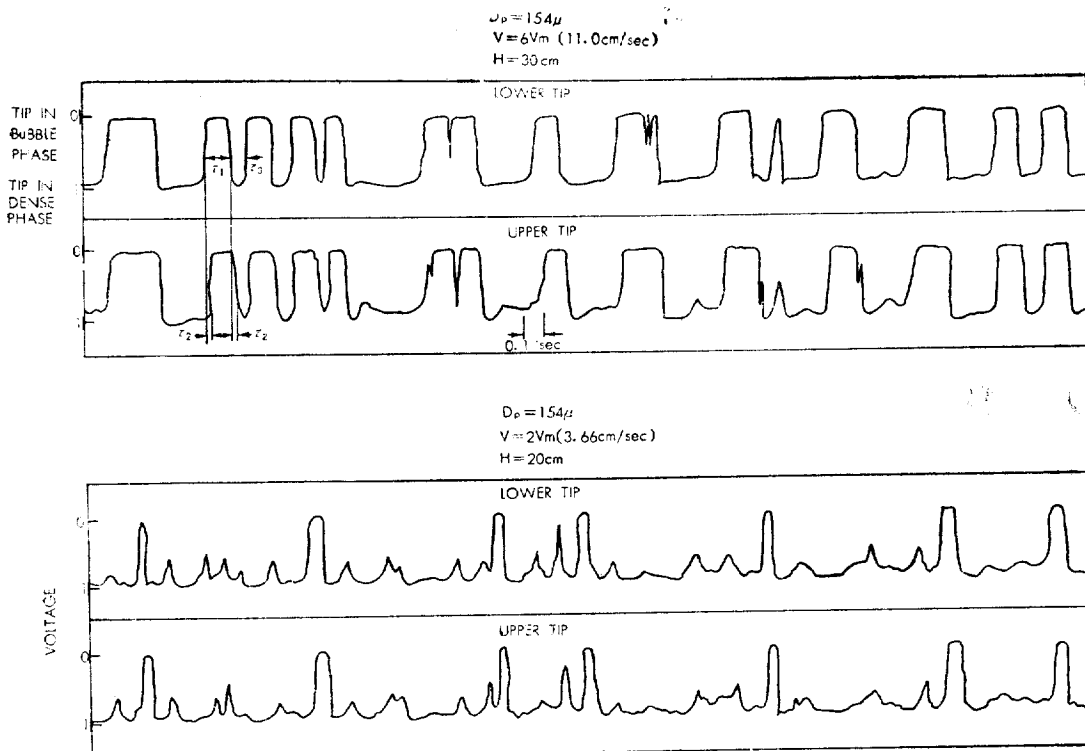


Fig. 2 Signal from Resistivity Probe

만일 주어진 流動條件下에서의 氣泡의 크기는 氣泡의 上昇速度만의 函數이고 氣泡는 probe 근방에서 不規則하게 分布되어 있다고假定하면 速對가  $d \cdot \left( \frac{1}{\tau_2} \right)_j + \frac{1}{2}$   $\Delta \left( \frac{1}{\tau_2} \right)$  사이에 속하는 氣泡의 平均길이 ( $l_j$ )는

$$l_j = d \left( \frac{1}{\tau_2} \right) \sum_{i=1}^n f_{ij} \tau_{ij} / \sum_{i=1}^n f_{ij} \quad (3)$$

로서 表示된다. 여기서  $\Delta \left( \frac{1}{\tau_2} \right)_j$ 는  $1/\tau_2$ 의 增分의 크기이다. 이러한 길이를 갖고 있는 氣泡의 總數는

$$f_j = \sum_{i=1}^n f_{ij} \dots \dots \dots \dots \quad (4)$$

이고  $j=1$ 에서부터 64까지에 해당하는  $l_j$ 와  $f_j$ 로 부터 氣泡의 크기의 分布를 求할 수 있다.

### 結果 및 檢討

氣泡頻度의 分布; 層內 多리點에서 测定한 結果를 Fig. 3에 나타내었다.一般的인 分布의 모양은 矩形<sup>(10)</sup>, 圓筒形<sup>(9)</sup>, 및 2次元層<sup>(16)</sup>에 관해서 이미 報告된 結果와 거의 비슷하였다. 即 層下部에서는  $r=0.5 \sim 0.7$ 에서 極大點을 나타내고 層의 壁쪽과 中心部 근방에서는 頻度가 比較的 낮았다. 層上部에서는 分布의 極大點이 中心쪽으로 옮겨지는 경향을 나타내었다. Grace 및 Harrison<sup>(16)</sup>은 이러한 分布의 變化에 對해 定性的으로 그 理由를 말한 바 있다.

氣泡相이 차지하는 容積;  $\epsilon_b$ 의 分布를 頻度의 分布와 함께 Fig. 3에 나타내었다.豫期한바와 같이 分布의 모양은 頻度分布의 모양과 거의 비슷하였다.

氣泡의 크기와 그 分布; 式 (3)(4)(5)에 依해서 求한 結果를 Fig. 4~7에 나타내었다. Fig. 4는  $D_p = 154 \mu$ 인 粒子를 流動化시켰을 때 層의 中心에서의 크기의 分布를 나타낸 것이나 結果의一般的인 경향은 Fig. 7에 서 더 쉽게理解할 수 있을 것이다. 即 Fig. 5에서부터  $l$ 은 氣體速度, 層底部에서부터 测定點까지의 거리 ( $H$ ) 및 粒子의 크기가 增加할수록 따라서增加하며 이는 다른 研究者들의 報告<sup>(9~11, 14)</sup>와 거의一致되는 경향이다. Fig. 5의 結果는 다음과 같은 式으로 整理할 수 있었다.

$$\frac{l}{H} = 33.3 D_p^{1.5} \left( \frac{V - V_m}{V_m} \right)^{0.77} \dots \dots \dots \dots \quad (5)$$

Fig. 6은 氣泡의 크기分布의 偏差도 역시 氣體速度,  $H$  및  $D_p$ 에 따라서 增加함을 나타낸다.

氣泡의 크기分布의 平均 및 偏差가 半徑方向에 따라서 變하는 모양을 그림 7에 나타내었으며 이 分布의 平均 및 偏差 역시 氣泡頻度의 半徑方向의 分布와 거의 비슷하다. 이는 層內의 한點에서의 氣泡의 會合의機會는 그 點에서의 氣泡의 頻度에 比例할 것이며 따라서 氣泡의 크기나 偏差 역시 頻度에 따라 增加할 것이다.

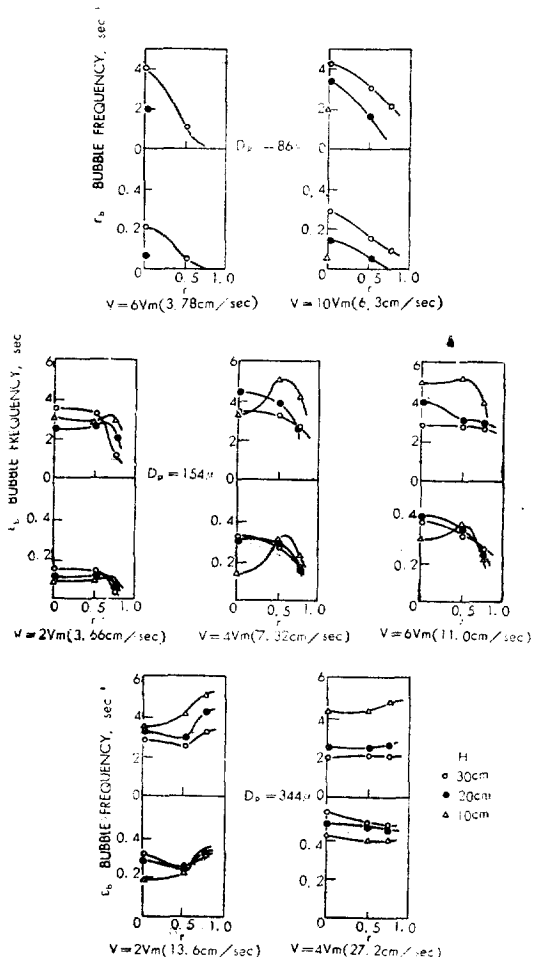


Fig. 3 Bubble Frequency and Volume Fraction as a Function of Position in Bed

氣泡의 크기分布의 모양을 그分布를 確率 graph 紙에 plot 함으로써 正規分布와 比較하였다. 그結果, 氣體의 速度가 낮을 때와 層下部에서는 大體의으로 正規分布를 假定할 수 있고 氣體의 速度가 클수록 層上部로 올라갈수록 그리고 粒子의 크기가 클수록 分布는 正規分布에서 벗어남을 알 수 있었다. 이러한 正規分布에서 부터의 벗어남은 氣泡의 會合에 依한 것으로 생각되며 近來에 發表된 Winter<sup>(8)</sup>의 結果와 定性的으로 비슷한 경향을 나타내었다.

氣泡의 크기와 上昇速度와의 關係; 流動層內에서 連續의으로 發生하는 氣泡의 上昇速度는

$$V_b = V_{bo} + KQ/A \quad \dots\dots\dots\dots(6)$$

로서 表示할 수 있으며 여기서  $V_{bo}$ 는 單一氣泡의 上昇速度,  $Q/A$ 는 層單位面積當氣泡의 流量,  $K$ 는 上昇하는 氣泡앞의 速度分布에 따라 달라지는 常數이다. 이式은 처음 Nicklin<sup>(17)</sup> 等이 氣液系에서의 氣泡의 上昇速度를 나타내기 위해서 계의 되었으며 그후 Pyle 및 Harrison<sup>(6)</sup>에 依해서 2次元層에, 그리고 Ormiston 等<sup>(12)</sup>에 依해서 流動層內에서의 Slug flow에 適用되었다.

$$\text{만일 } Q/A = V - V_m \text{ 및 } K=1 \text{ 을 가정한다면 式(6)은 } \\ V_b - (V - V_m) = \bar{V}_{bo} \quad \dots\dots\dots\dots(7)$$

이 되고  $\bar{V}_{bo}$ 는 氣泡의 크기만의 函數임으로  $\bar{V}_{bo} - (V - V_m)$ 를  $l$ 의 函數로 plot 할 수 있다. (Fig. 8), 層壁의 영향을 받지 않은  $l$ 가 2.5cm 以下의 경우, 實驗值는

$$\bar{V}_{bo} - (V - V_m) = C \sqrt{gl} \quad \dots\dots\dots\dots(8)$$

의 式으로 나타낼 수 있었으며, 여기서 Fig. 8에 나타낸 直線에 해당하는  $C$ 의 值은 0.94였다. 氣泡와 氣泡 사이에 相互作用 및 不規則한 粒子들의 擾動으로 말미암아 實驗值의 散發은豫期되는 바였다.

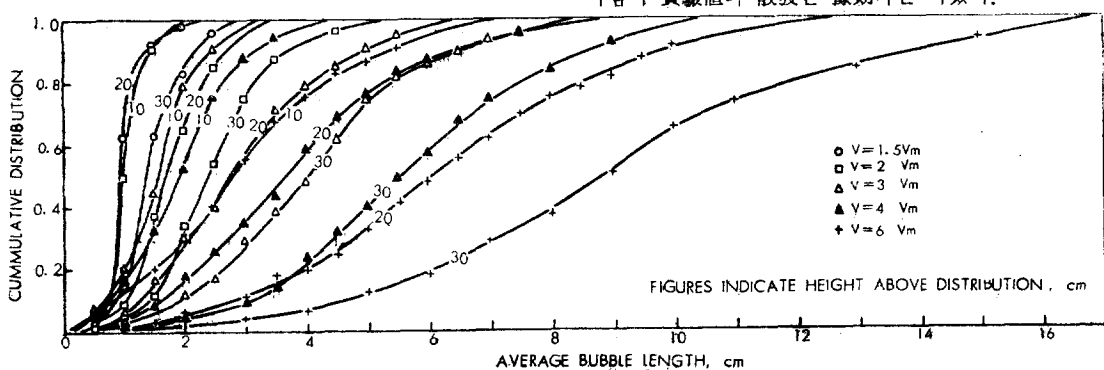


Fig. 4 Bubble Length Distributions, at Centre of Bed for 154 μ Particles

이 結果를 다른 研究者들의 結果와 比較하기 위해서는  $l$ 를 平均直徑 ( $id_b$ )이나 相當直徑 ( $d_b$ )으로 變換하여야 한다.

만일 氣泡를 前方이 球形이고 低部가 扁平져나간 모

양으로 가정한다면  $l$ 과  $d_b$ 는 다음과 같은 關係가 成立한다.

$$\text{即, } l = \frac{d_b}{6} \left( 2 + 3 \cos \frac{\theta}{2} - \cos^3 \frac{\theta}{2} \right) \quad \dots\dots\dots\dots(9)$$

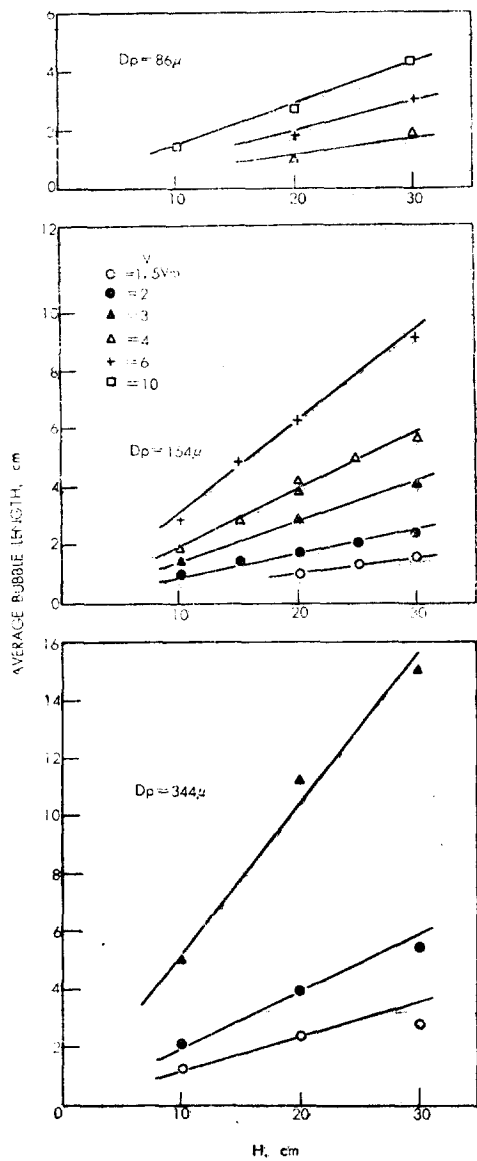


Fig. 5 Average Bubble Length at Centre of Bed

여기서  $\theta$ 는 Wake의 angle이다.

Rowe 및 Partridge<sup>(5)</sup>는  $100\sim 560\mu$ 의 유리粒子의 流動層에서의 氣泡의 平均  $\theta$ 는  $135^\circ$ 라고 報告했다. 만약  $\theta$ 의 값으로써 이 값을 取한다면 式(9)는

$$l = 0.52d_b \dots \quad (10)$$

가 되고 이 式을 式(8)에 代入하면

$$\bar{V}_b - (V - V_m) = 0.96 \sqrt{gd_b/2} \dots \quad (11)$$

같은 方法으로

$$\bar{V}_b - (V - V_m) = 0.71 \sqrt{gd_b/2} \dots \quad (12)$$

式(11)에서의 0.96은 Rowe 및 Partridge<sup>(5)</sup>의 값 0.9와 그리고 式(12)에서의 0.71은 Harrison 및 Leung<sup>(12)</sup>

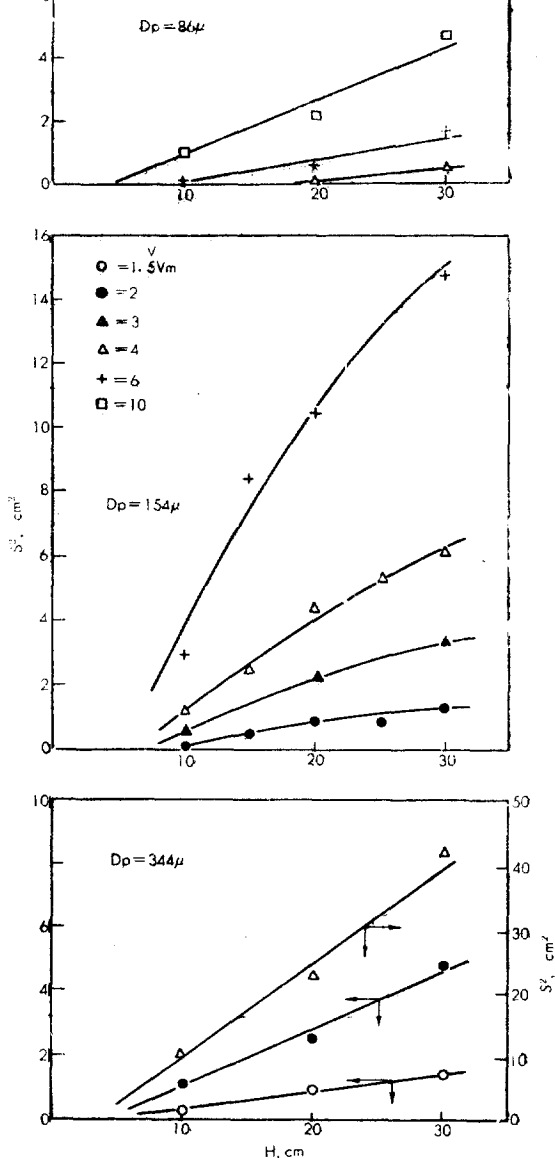


Fig. 6 Variance of Bubble Length Distribution at Centre of Bed

의 값 0.64와 각각 比較할 수 있으나 0.9나 0.64는 單一氣泡에 對한 값이다. 따라서 式(11) 및 (12)에서 부터 連續的으로 發生하는 氣泡의 上昇速度는 單一氣泡의 그것보다若干 크다고 할 수 있으며 이는 氣泡가 서로 會合할 때 앞선 氣泡가 뒤의 氣泡를 加速시키기 때문이라고 할 수 있다.

Fig. 8에서 보는 바와 같이 氣體速度가 커지면 氣泡의 크기가 커지고 마침내 Slugging 現象이 생긴다. 이 때의 上昇速度는 氣泡의 크기에는 關係없이 流動層管의 直徑에만 따라서 달라진다. 單一 slug의 上昇速度 ( $V_{so}$ )는<sup>(12)</sup>

$$V_{so} = 0.35 \sqrt{gD} \quad \dots\dots\dots(13)$$

이여 여기서  $D$ 는 管의 直徑이다. 本實驗에서는  $D=10\text{cm}$  임으로 이 값을 위 式에 代入하면  $V_{so}=34.7\text{cm/sec}$  이 되고 이 값은 slugging が 쉽게 일어나는  $D_p=344\mu$  的 경우의 上昇速度와 잘 부합된다(F. g. 8). 그러나 粒子의 크기가 적을 경우의 上昇速度는 이 보다 큰 값을 나타냈으며 이는 式(6)의  $K$ 의 값이 여기서 가정한 값인 1.0보다 실제로 몇배나 더 클때도 있고 變化하기 쉽다는 Ormiston 等<sup>(12)</sup>의 實驗結果와 잘 부합되는事實이다.

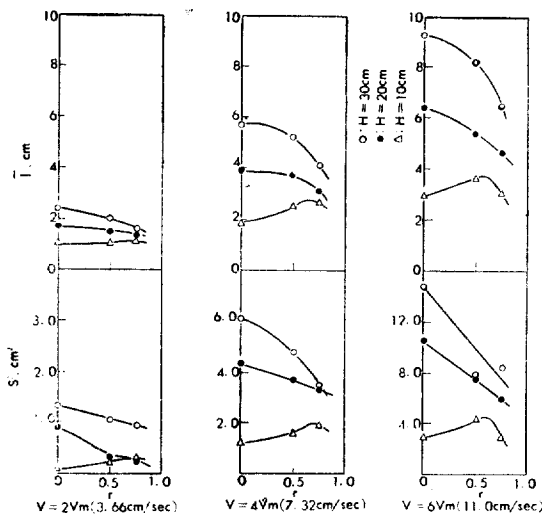


Fig. 7 Radial Dependence of Average Bubble Length and Variance of Bubble Length Distributions for  $154\mu$  Particles

## 結論

conductive coke 流動層에서 電氣抵抗 probe 를 使用하여 氣泡의 舉動을 測定한 結果 다음과 같은 結論을 얻었다.

(1) 層下部에서 生成된 氣泡들은 上昇하면서 서로 會合하여 따라서 그 크기는 커지고 頻度는 減少한다. 또 한 크기는 熱體流速과 粒子의 크기에 따라서 增加한다.

(2) 氣泡의 頻度, 크기의 分布의 平均 및 偏의 半徑方向의 分布는 서로 비슷한 모양을 갖고 있다. 卽 層上部에서는  $r=0.5-0.7$ 에서 極大點을 나타내며 上部에 갈수록 極大點이 中心部로 옮아간다.

(3) 氣泡크기의 分布는 層下부에서 그리고 氣體流速이 적을 때는 正規分布로 가정할 수 있으며 氣泡의 크기가 증가할수록 이에서 벗어난다.

(4) 連續的으로 發生하는 氣泡의 上昇速度는 Nicklin 等이 제의한 式으로 近似的으로 表示할 수 있다.

## Nomenclature

$A$ : Cross sectional area of the column,  $\text{cm}^2$

$C$ : A coefficient defined in Equation (8)

$D$ : Diameter of the column,  $\text{cm}$

$d$ : Vertical distance between tips of probe,  $\text{cm}$

$D_p$ : Average particle diameter,  $\text{cm}$

$\Delta$ :  $D_p = 86\mu$

$\circ$ :  $D_p = 154\mu$

$+$ :  $D_p = 344\mu$

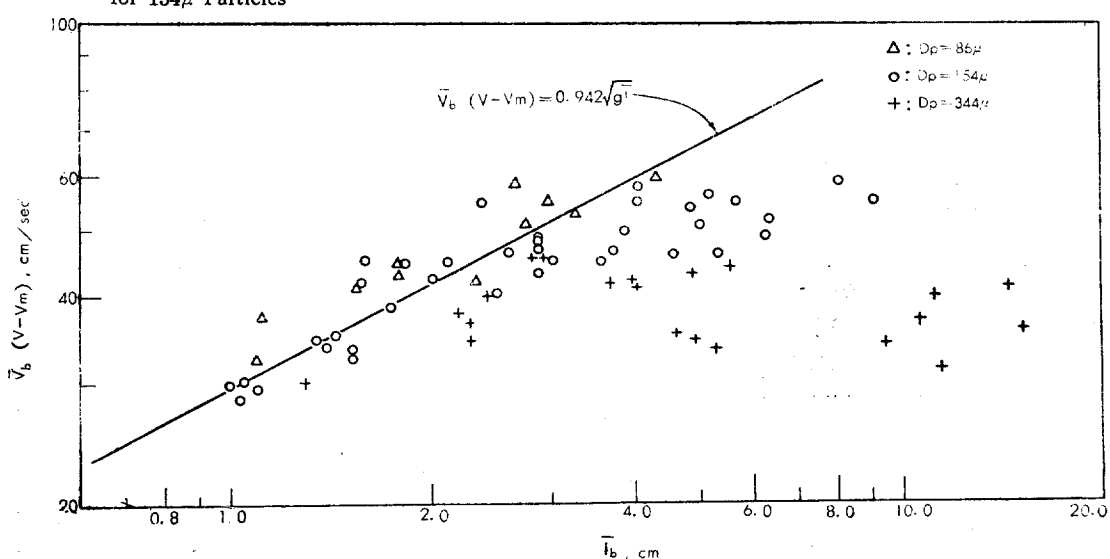


Fig. 8 Relationship between Bubble Velocity and Size

- $\bar{d}_b$ : Average spherical cap diameter of a bubble for a run, cm  
 $d_e$ : Average equivalent diameter of a bubble for a run, cm  
 $F(\tau_1, 1/\tau_2)$ : Two-dimensional array of  $\tau_1$  versus  $1/\tau_2$   
 $f_{ij}$ : Frequency corresponding to the i-th row and j-th column of  $F(\tau_1, 1/\tau_2)$   
 $f_j$ :  $\sum_{i=1}^m f_{ij}$   
 $G(\tau_3)$ : One-dimensional array of  $\tau_3$   
 $g_j$ : Frequency corresponding to the j-th column of  $G(\tau_3)$  array  
 $g$ : Gravitational constant, 980 dyne/sec<sup>2</sup>  
 $H$ : Vertical distance from the distributor, cm  
 $K$ : A parameter defined in Equation (6)  
 $l$ : Average bubble length for a run, cm  
 $l_j$ : Average bubble length corresponding to the j-th column of  $F(\tau_1, 1/\tau_2)$   
 $n$ : Bubble frequency, sec<sup>-1</sup>  
 $Q$ : Volumetric flow rate of gas, cm<sup>3</sup>/sec  
 $r$ : Dimensionless radial variable  
 $T$ : Total data processing time, sec  
 $t$ : Time variable, sec  
 $V$ : Superficial gas velocity, cm/sec  
 $V_b$ : Individual bubble velocity, cm/sec  
 $V_{bo}$ : Rising velocity of an isolated single bubble  
 $\bar{V}_b$ : Average bubble velocity for a run, cm/sec  
 $V_m$ : Superficial minimum fluidizing velocity, cm/sec  
 $V_{so}$ : Rising velocity of an isolated single slug, cm/sec  
 $\varepsilon_b$ : Volume fraction occupied by bubble phase  
 $\tau_1$ : Pulse width in unit of time, sec.  
 $\tau_2$ : Time delay between corresponding pulses in the two channels of recorded data, sec.  
 $\tau_3$ : Time interval between two successive pulses, sec.  
 $\tau_{1i}$ : Midvalue of  $\tau_1$  corresponding to the i-th row of  $F(\tau_1, 1/\tau_2)$   
 $\tau_{3j}$ : Midvalue of  $\tau_3$  corresponding to the j-th column of  $G(\tau_3)$   
 $(1/\tau_2)_j$ : Midvalue of  $1/\tau_2$  corresponding to the j-th column of  $F(o_1, 1/\tau_2)$   
 $\Delta\tau_3$ : Increment size of  $\tau_3$  in  $G(\tau_3)$   
 $\Delta(1/\tau_2)$ : Increment size of  $1/\tau_2$  in  $F(\tau_1, 1/\tau_2)$   
 $\theta$ : Wake angle of a bubble.

## 参考文献

- Jackson, R. Traus. Instn Chem. Engrs., 1963, 41, 22.
- Murray, J. D. J. Fluid Mech., 1965, 22, 57.
- Stewart, P. S. B. Trans. Instn. Chem. Engrs., 1968, 46, 60.
- Davidson, J. F. and Harrison, D., "Fluidized Particles", 1963 (Cambridge, University Press).
- Rowe, P. N., and Partridge, B. A. Trans. Instn Chem. Engrs. 1965, 43, 157.
- Pyle, D. L. and Harrison D. Chem. Eng. Sci., 1967, 22, 531.
- Pyle, D. L. and Harrison D. Chem. Eng. Sci., 1967, 22, 1199.
- Winter, O. A. I. Ch. E. J. 1968, 14, 426.
- Kunii, D., Yoshida, K. and Hiraki I., Proceedings of the International Symposium on Fluidization 1967, 243. (Amsterdam: Netherlands University Press).
- Baumgarten, P. K. and Pigford, R. L. A. I. Ch. E. J. 1960, 6, 115.
- Yasuii G., and Johanson, L. N. A. I. Ch. E. J. 1958, 4, 445.
- Ormiston, R. M., Mitchell, F. R. G. and Davidson, J. F. Trans. Instn Chem. Engrs., 1965, 43, 209.
- Lanneau, K. P. Trans. Instn Chem. Engrs. 1960, 38, 125.
- Toei, R., Matsuno, R., Kojima, H., Nagai, Y., Nokagawa, K. and Yu, S., Chemical Engineering (Japan) 1965, 29, 851.
- Funke, E. R. R. and van Blockland, G. Private communication. (Division of Mechanical Engineering, National Research Council, Ottawa, Canada).
- Grace, J. R., and Harrison, D. Paper presented at Tripartite Chemical Eng. Conference, Montreal, (1968).
- Nicklin, D. J., Wilkes, J. O. and Davidson, J. F. Trans. Instn Chem. Engrs., 1962, 40, 61.
- Harrison, D. and Leung, L. S., L. S., Trans. Instn Chem. Engrs., 1962, 40, 146.
- Stewart, P. S. B. and Davidson, J. F. Powder Technology, 1967, 1, 61.